

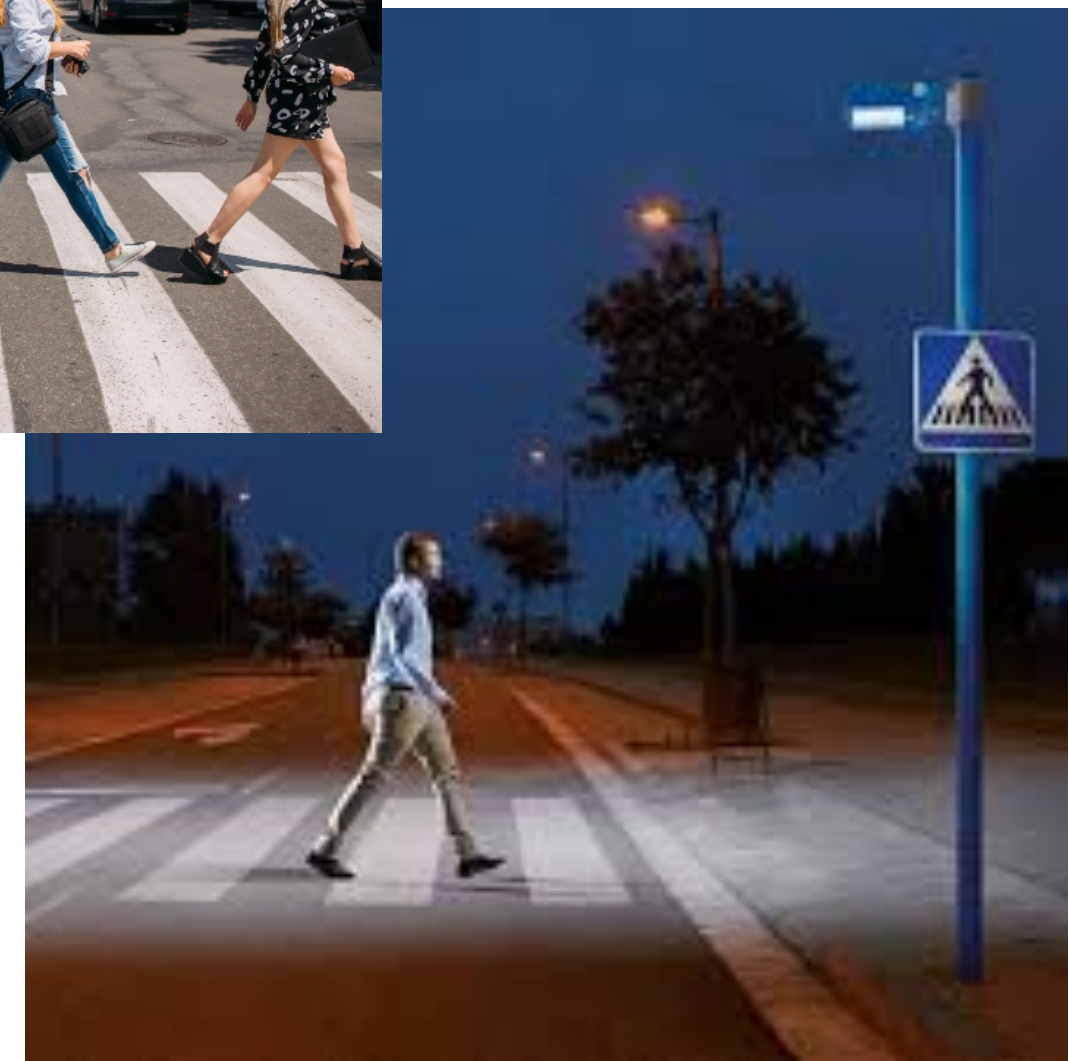
Vliv spektrálních vlastností světelných zdrojů na viditelnost v nočním dopravním prostoru



prof. Ing. Michal Vik, Ph.D.
doc. Ing. Martina Viková, Ph.D.

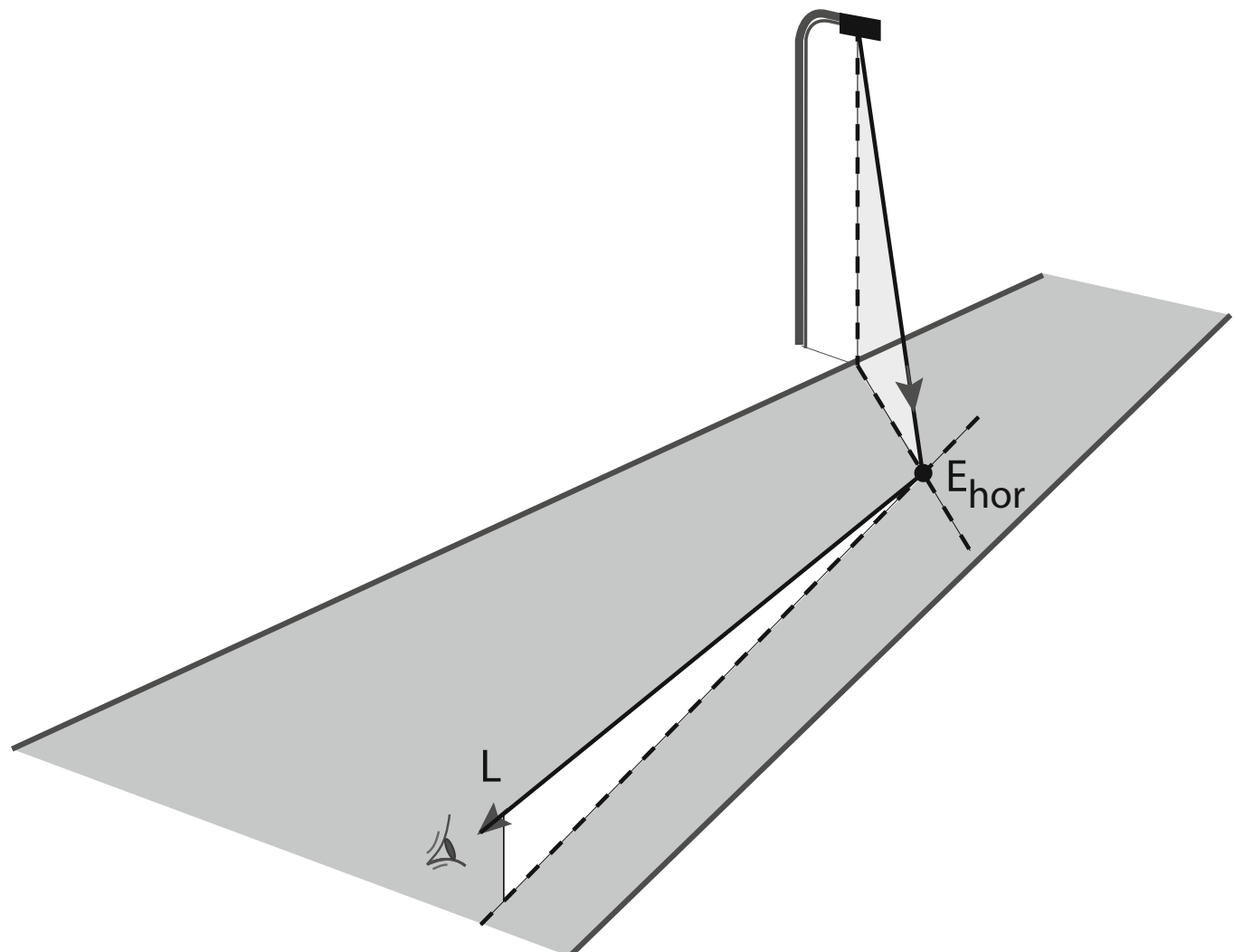


VIDITELNOST - JAK JI ZVÝŠIT?



převzato z materiálů firmy SIMON

ZÁKLADNÍ POJMY



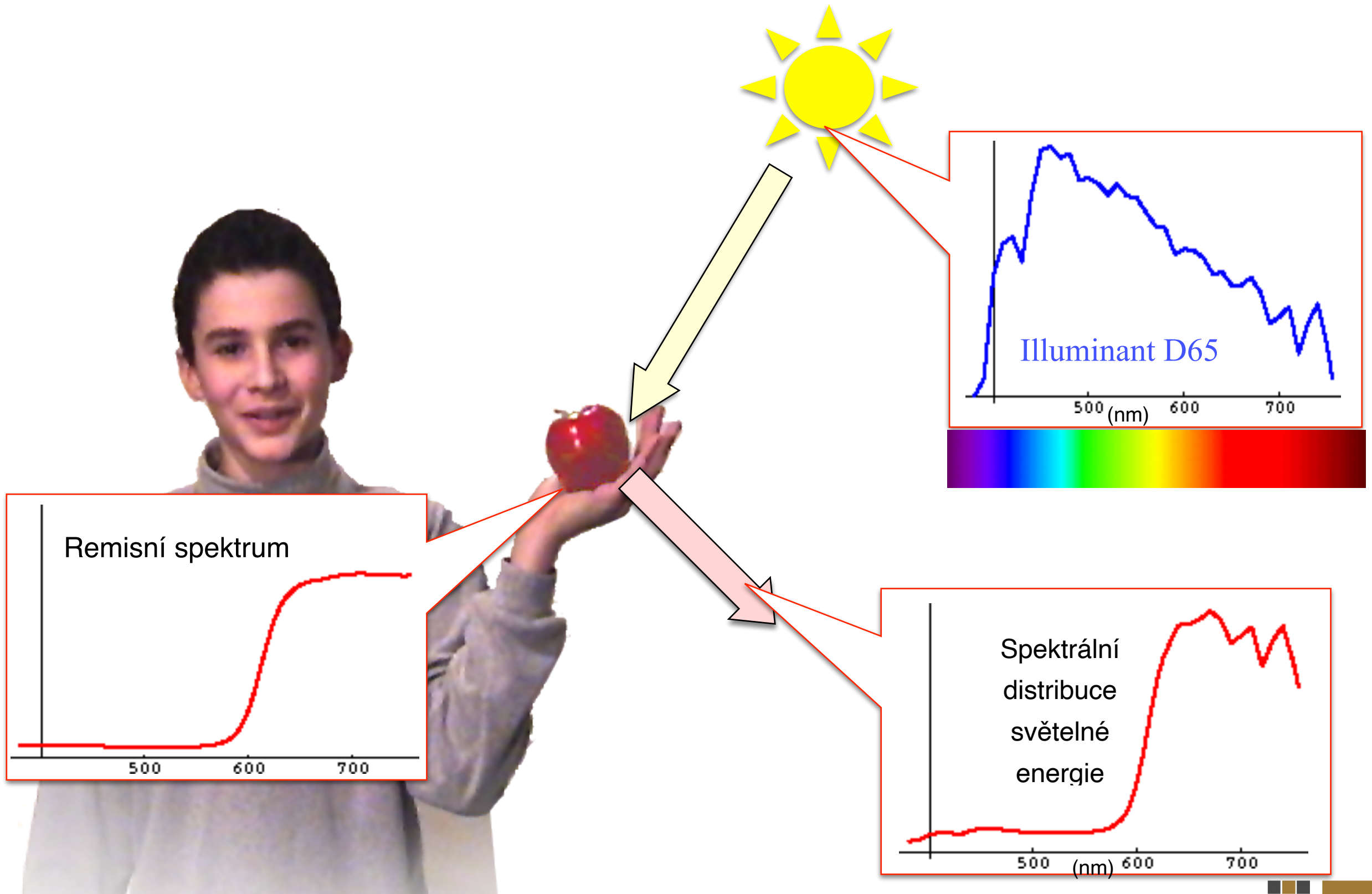
$$E = \frac{\Phi}{S} = \frac{d\Phi}{dS_n}$$

kde $d\Phi$ je světelný tok, dS_n ploška kolmá ke směru paprsku.

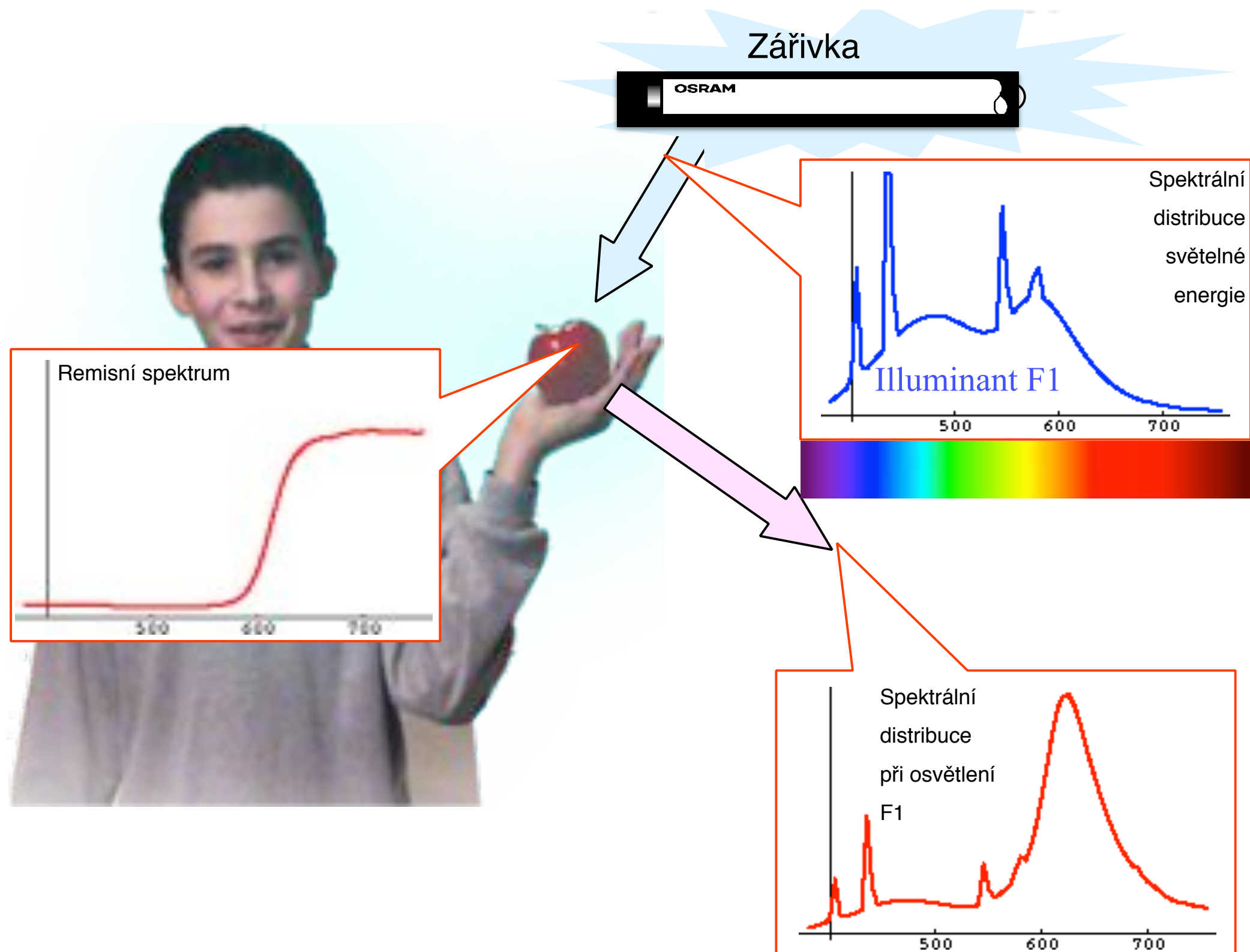
$$L = \frac{I}{S_p} = \frac{dI}{dS \cdot \cos \vartheta}$$

kde I je svítivost a S_p je viděná svítící plocha.

ZÁKLADNÍ POJMY



ZÁKLADNÍ POJMY



ZÁKLADNÍ POJMY

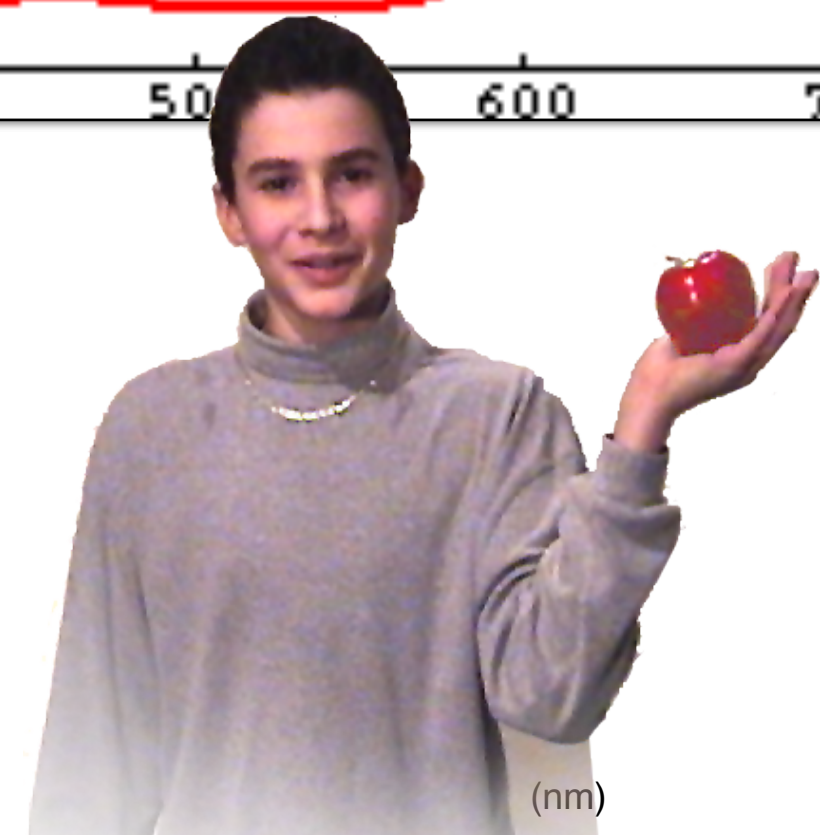
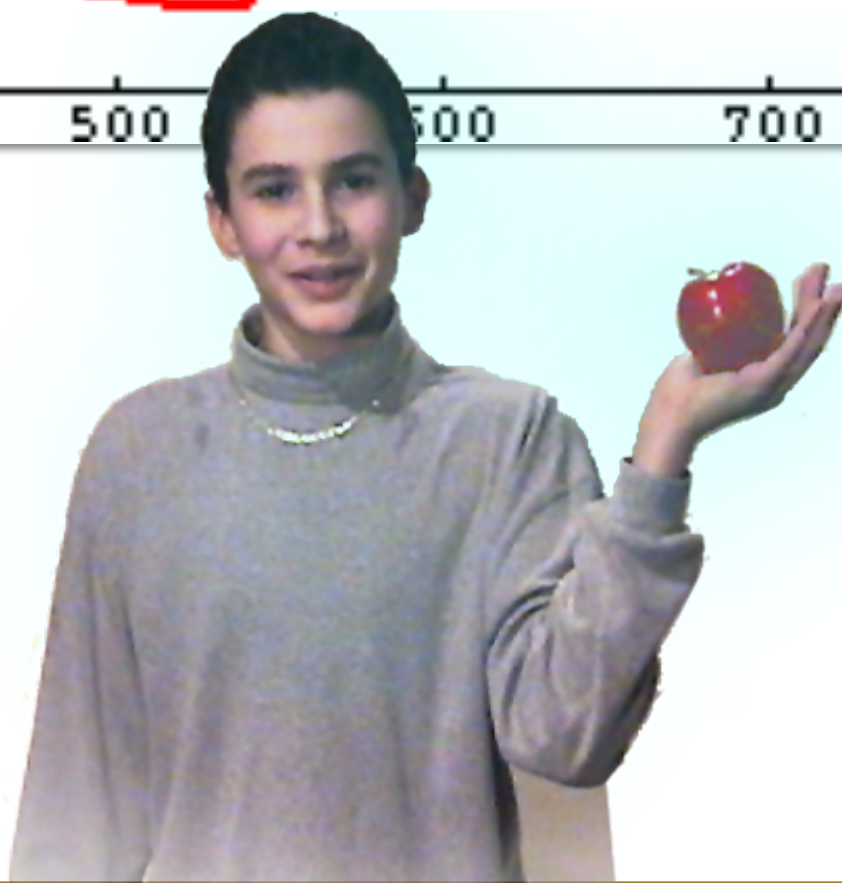
Spektrální
distribuce
při osvětlení
F11

≠

Spektrální
distribuce
při osvětlení
D65

500 600 700

500 600 700



(nm)

REAKČNÍ ČAS (RČ)

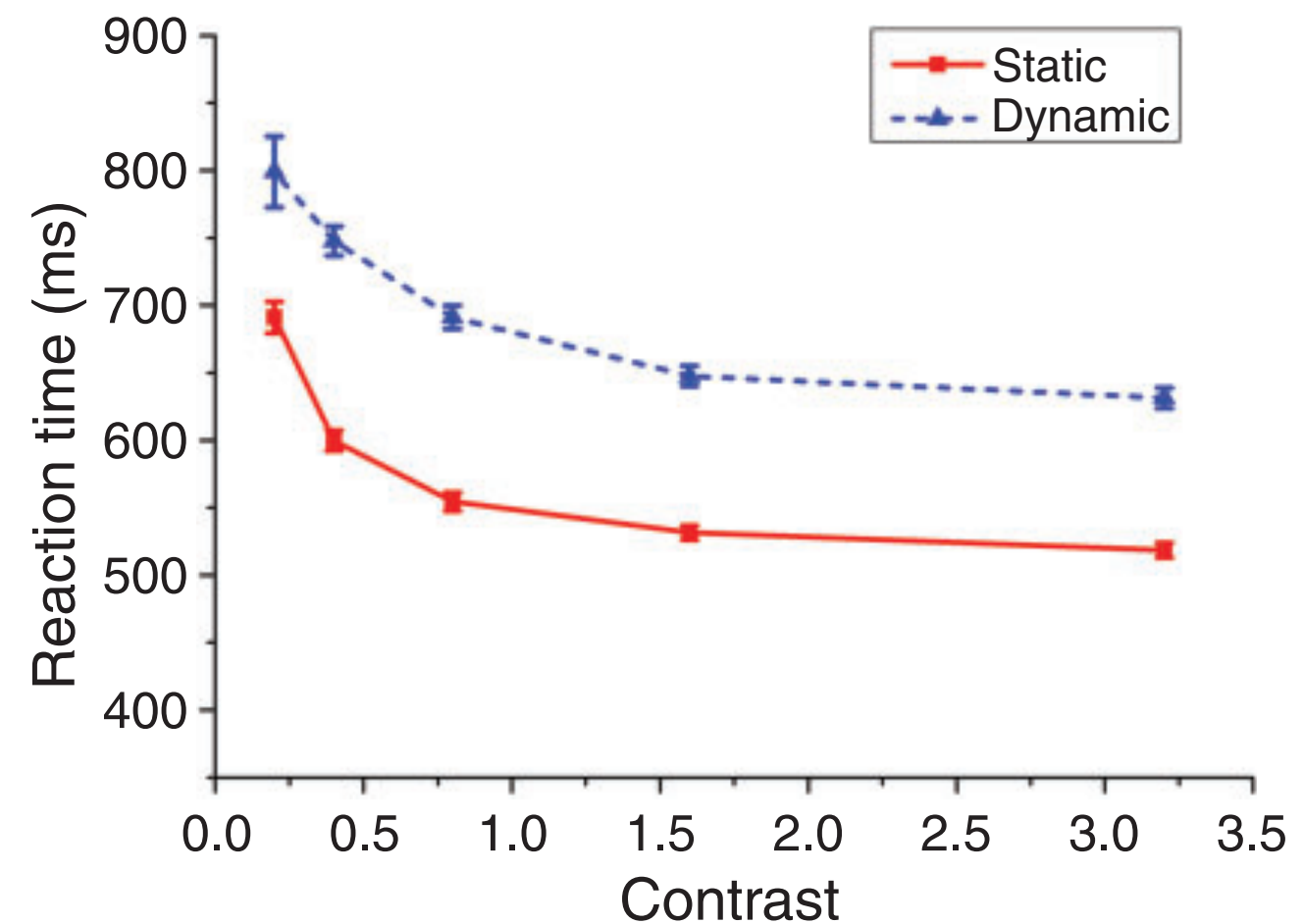
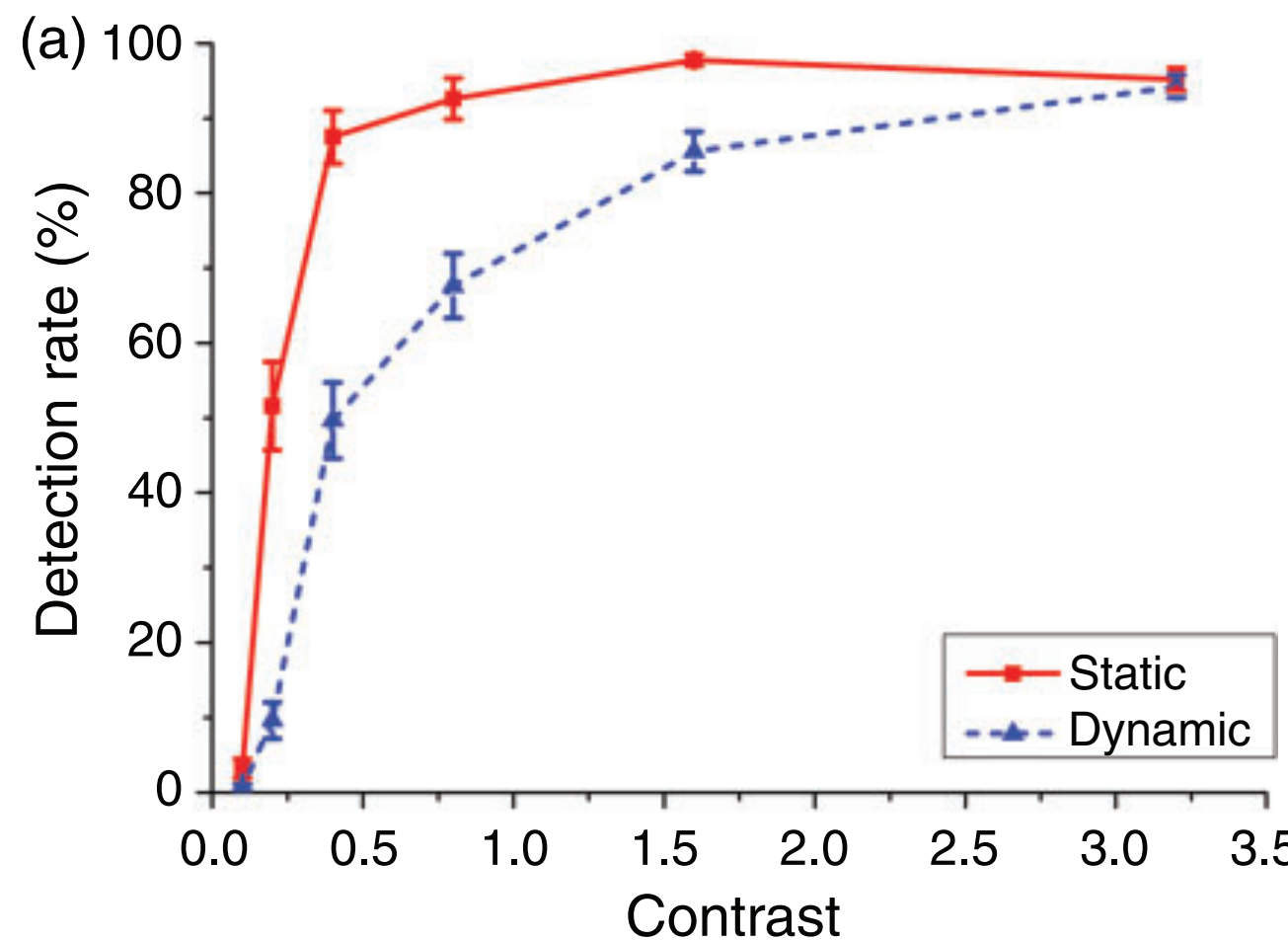
- ❖ RČ se zkracuje s nárůstem plochy podnětu (A)
(Bonnet a další 1992, Medina-Ruiz a další 2009)



- ❖ RČ se zkracuje s nárůstem intenzity podnětu (I)
(Luce 1986)



RČ - STATICKÁ VS DYNAMICKÁ SCÉNA



Řidič v jedoucím vozidle potřebuje pro identifikaci překážky vyšší kontrast !

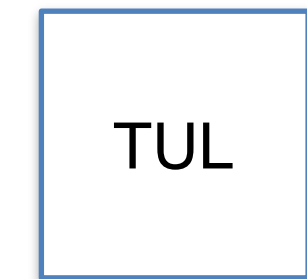
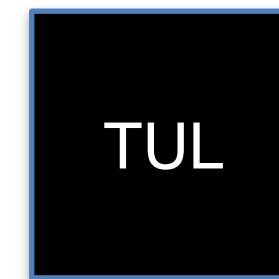
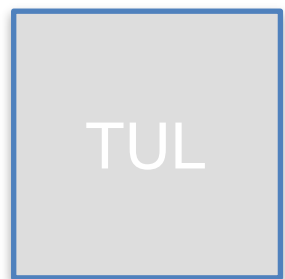
KONTRAST

- ❖ Rozlišujeme dva základní typy kontrastu:
 - ❖ **Weberův kontrast** je definován jako rozdíl mezi jasem pozadí (L_p) a podnětem (L_s), dělený jasem pozadí:

$$K_w = (L_s - L_p) / (L_p) \quad <-1 ; \infty>$$

- ❖ **Michelsonův kontrast** (viditelnost) je dán poměrem rozdílu mezi nejvyšším (L_{\max}) a nejnižším (L_{\min}) jasem ku jejich součtu:

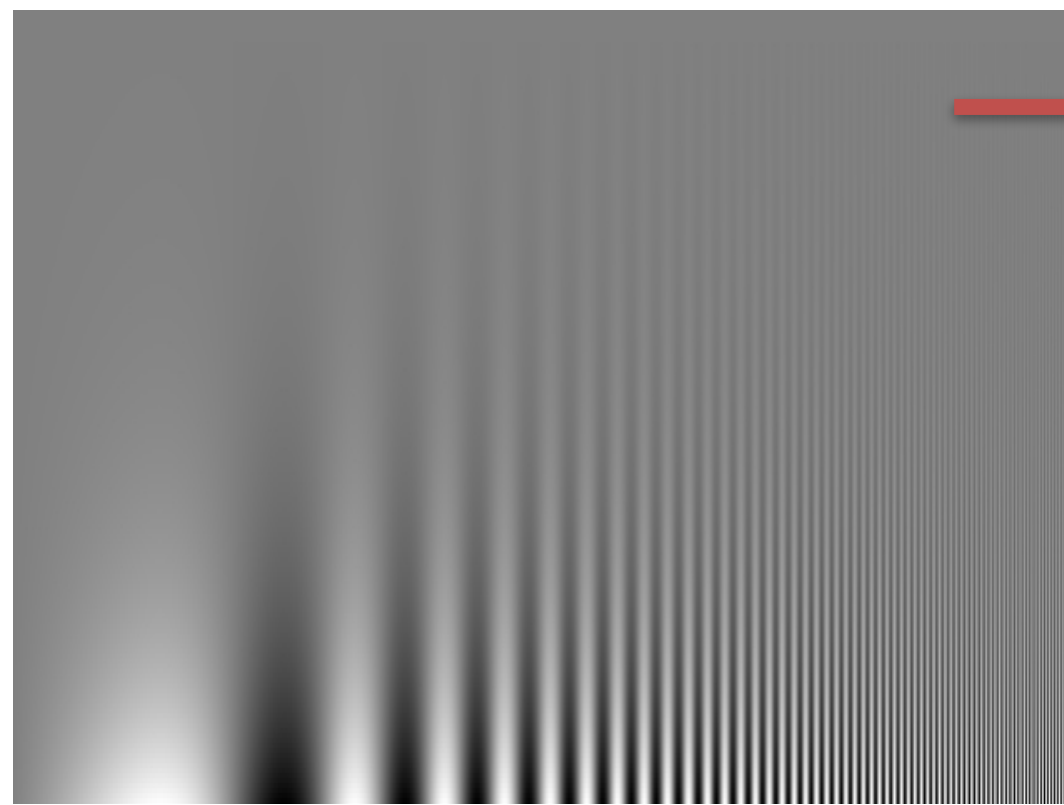
$$K_M = (L_{\max} - L_{\min}) / (L_{\max} + L_{\min}) \quad <-1 ; 1>$$



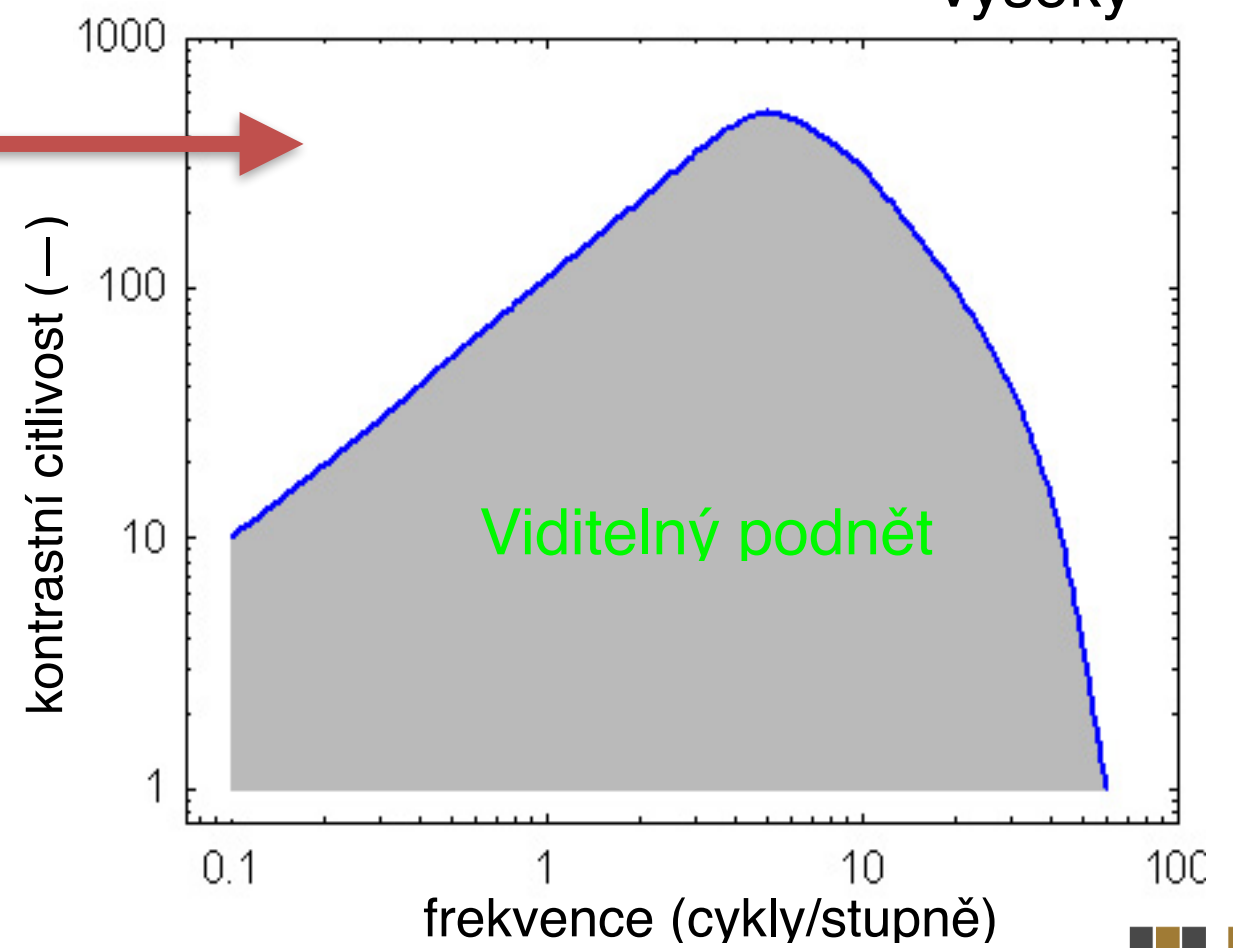
KONTRAST



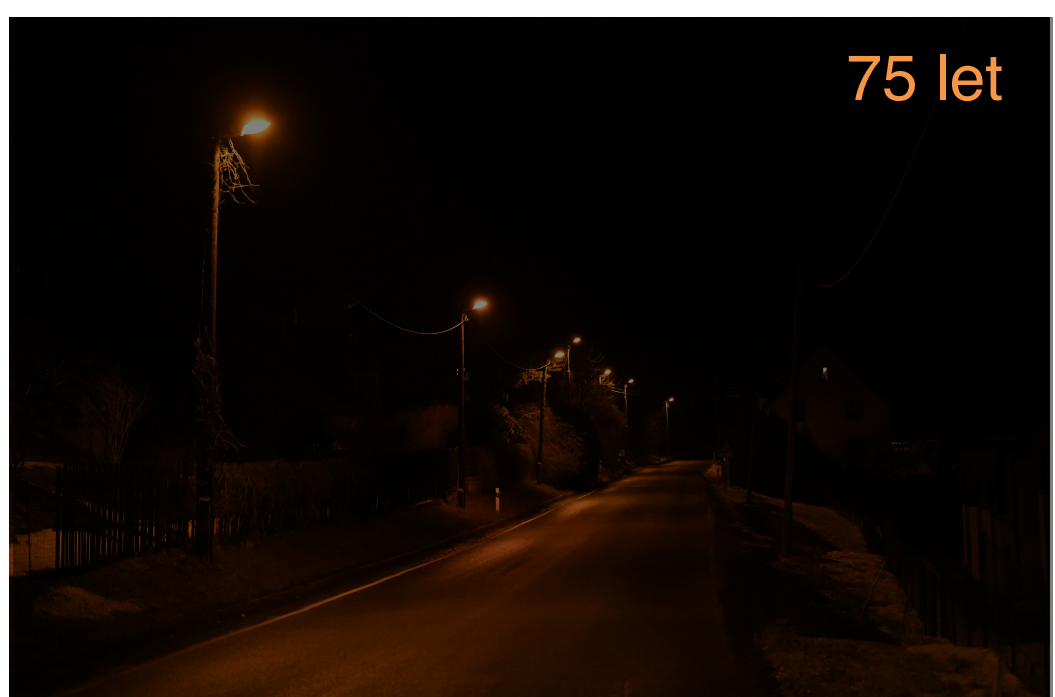
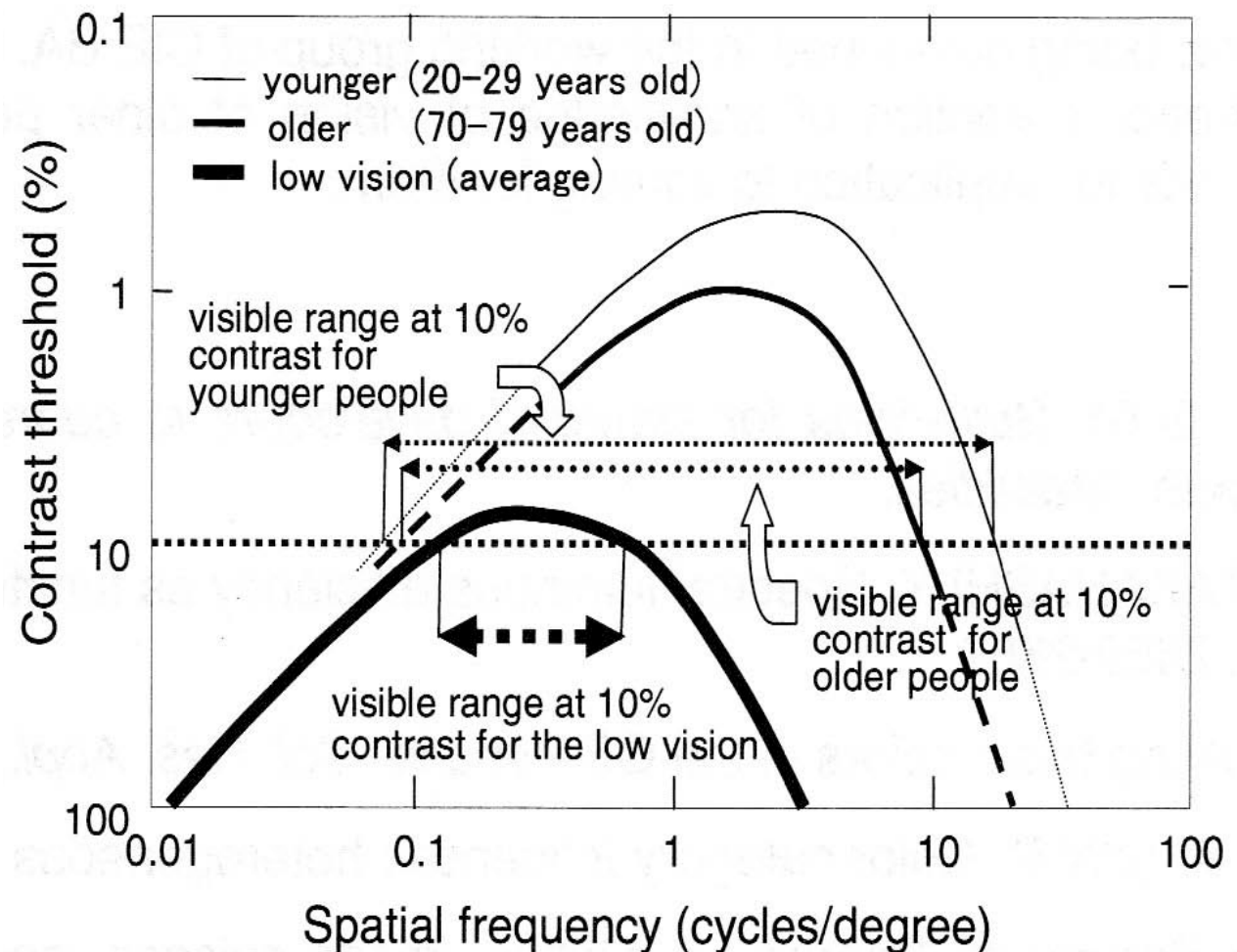
← nízký → vysoký



Cambell Robson

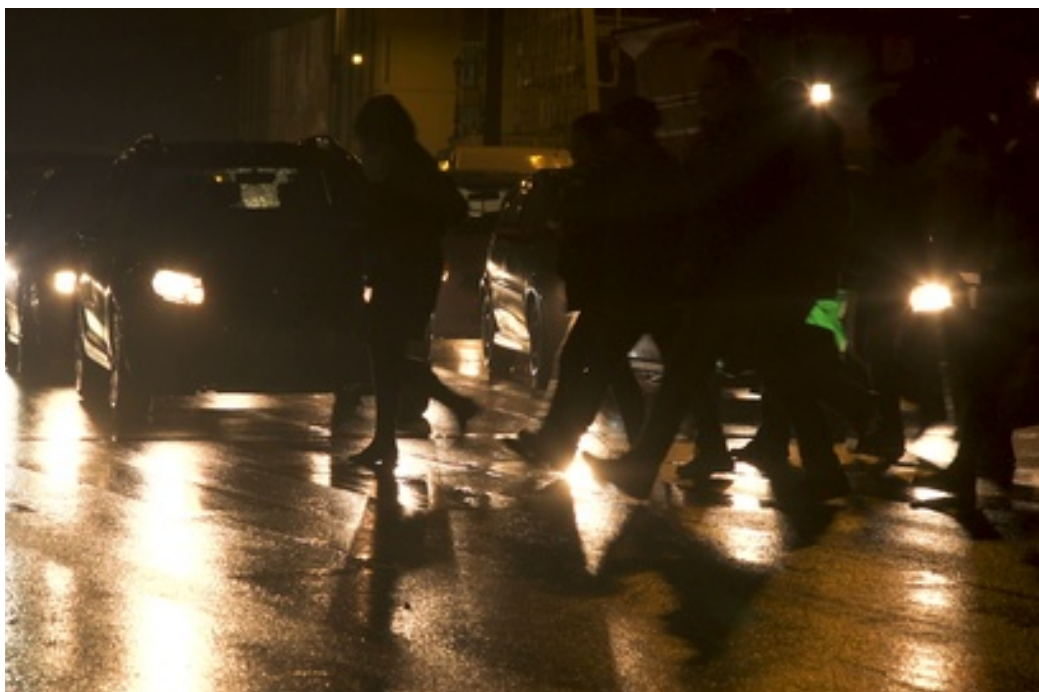


KONTRAST - VLIV VĚKU A VELIKOSTI PODNĚTU



Zhoršená světelná propustnost optického aparátu oka vede na prodloužení RČ !!!

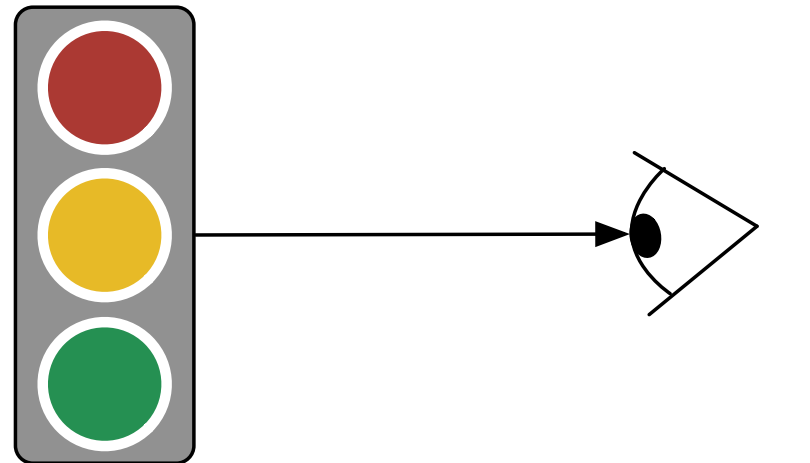
VIDITELNOST VS ZJEVNOST



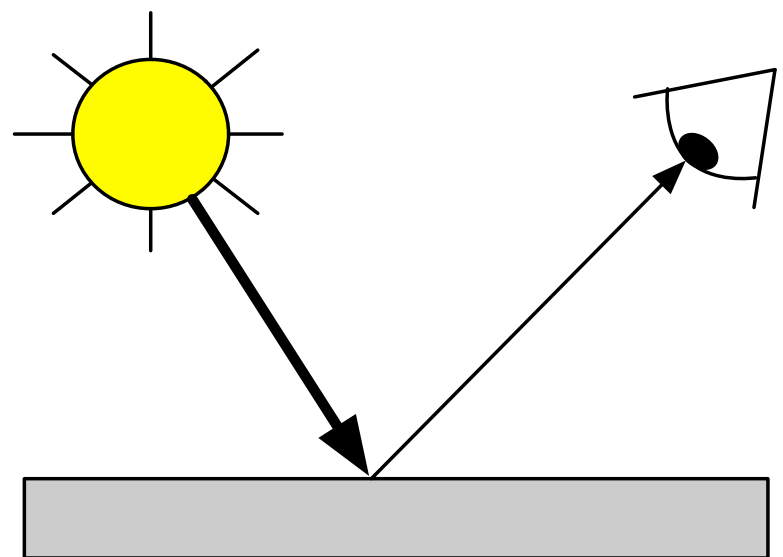
JAKÝ JE PŘÍSPĚVEK BARVY?



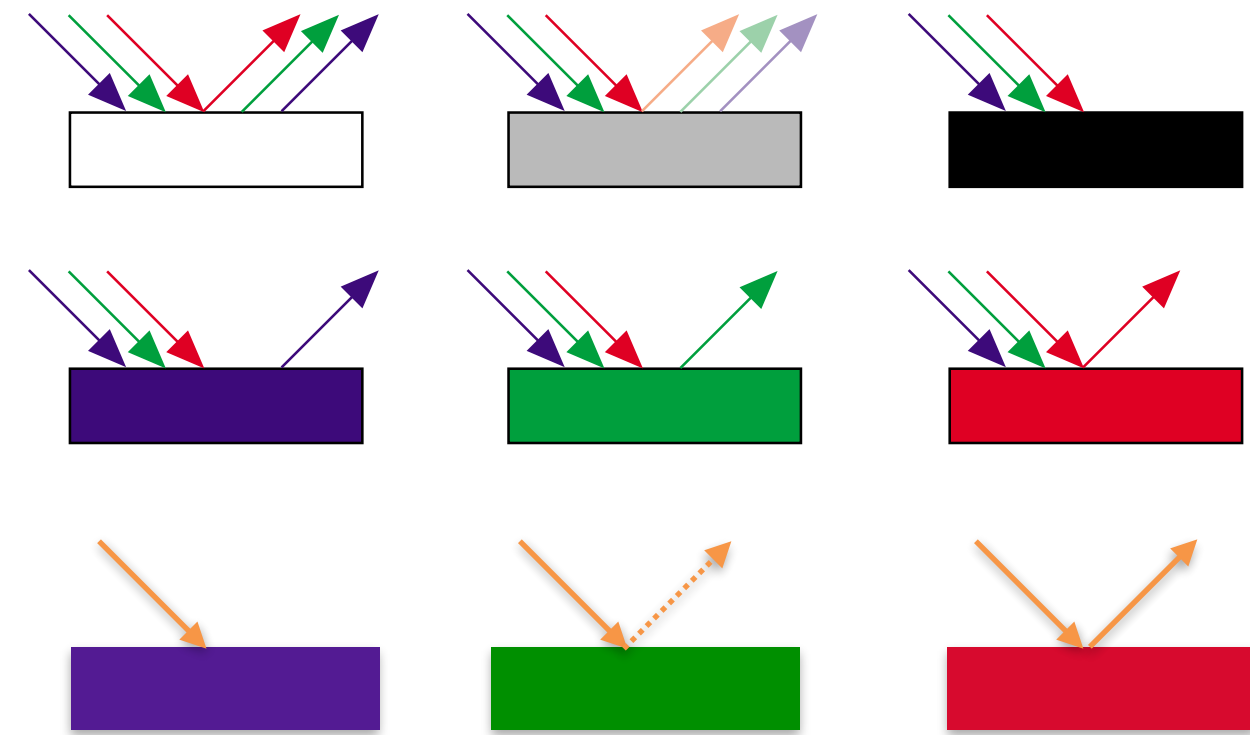
KONTRAST VS. SEKUNDÁRNÍ ZÁŘICE



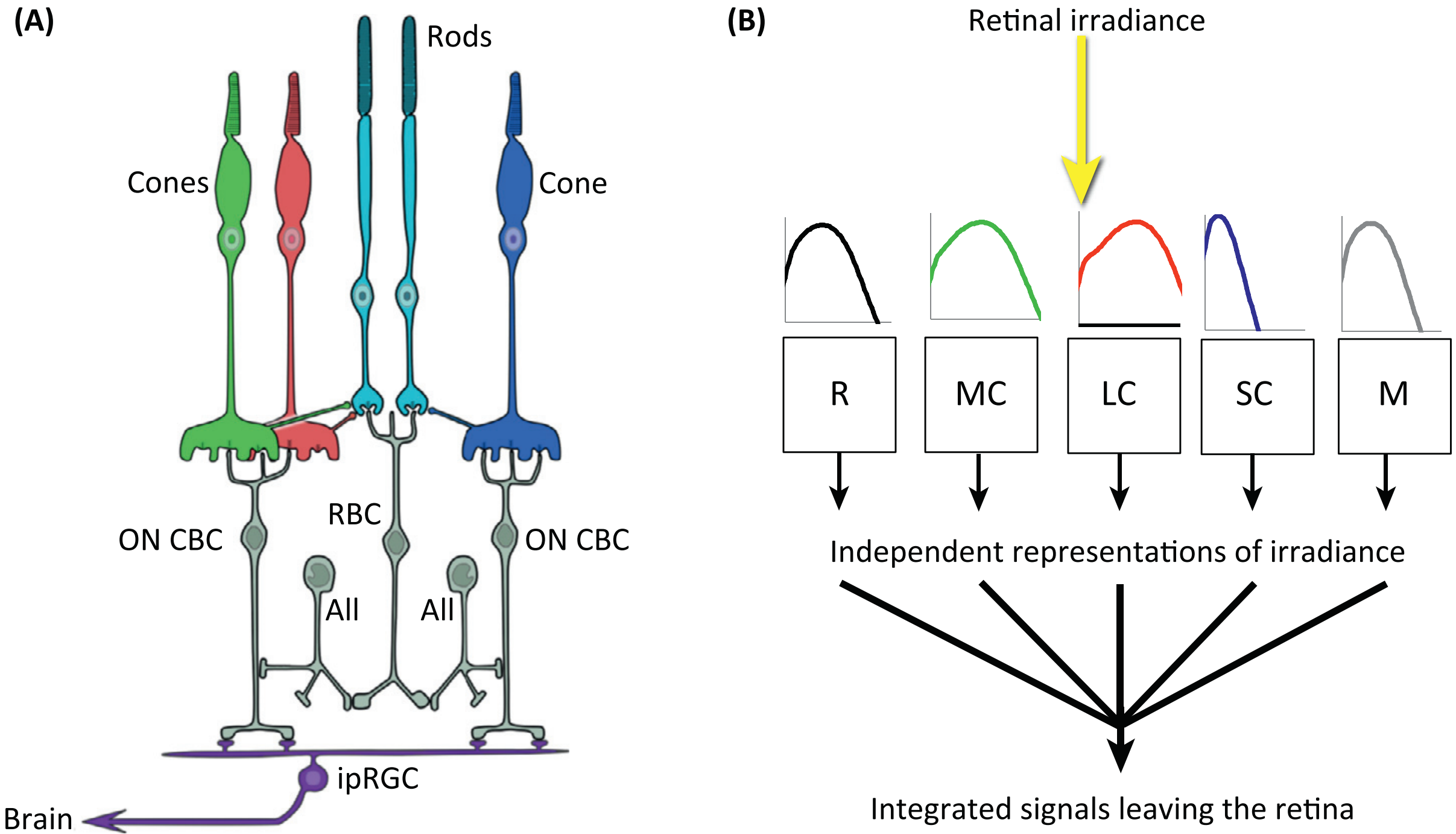
a)



b)

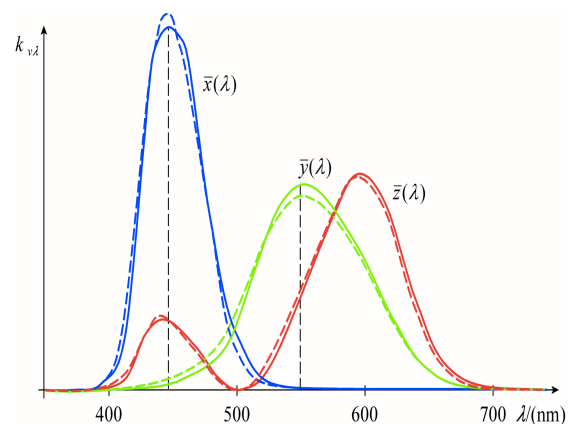
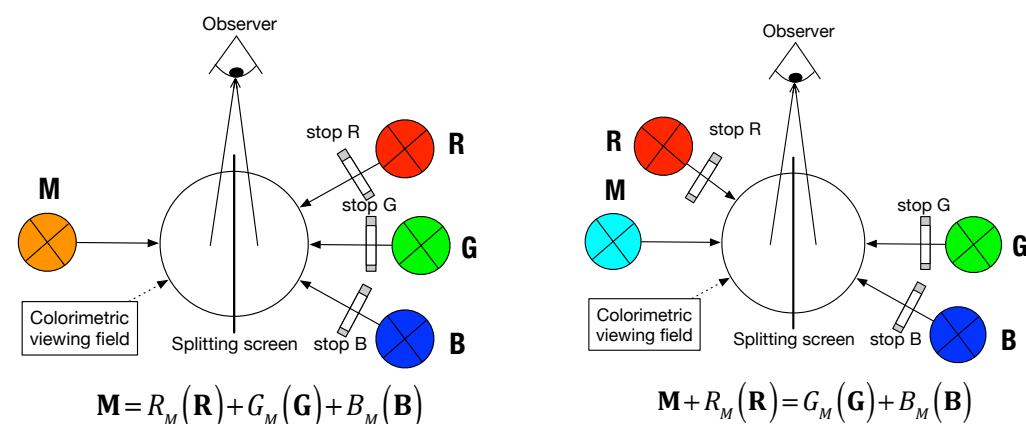
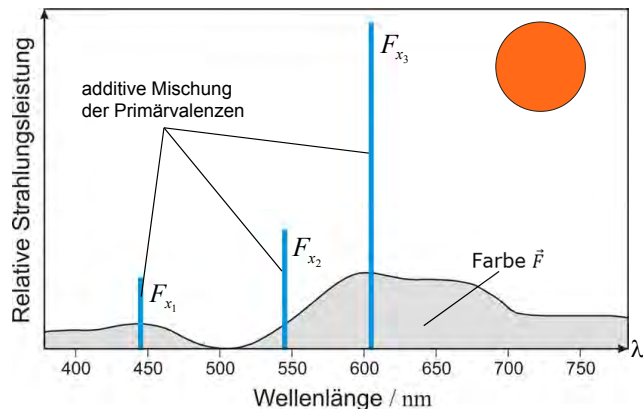


SÍTNICE



převzato z: Lucas, R. J. et al. Measuring and Using Light in the Melanopsin Age. *Trends Neurosci.* **2014**, 37(1), 1–9.

KOLORIMETRICKÁ SOUSTAVA CIE XYZ



$$\varphi_\lambda = S_\lambda \cdot \beta(\lambda)$$

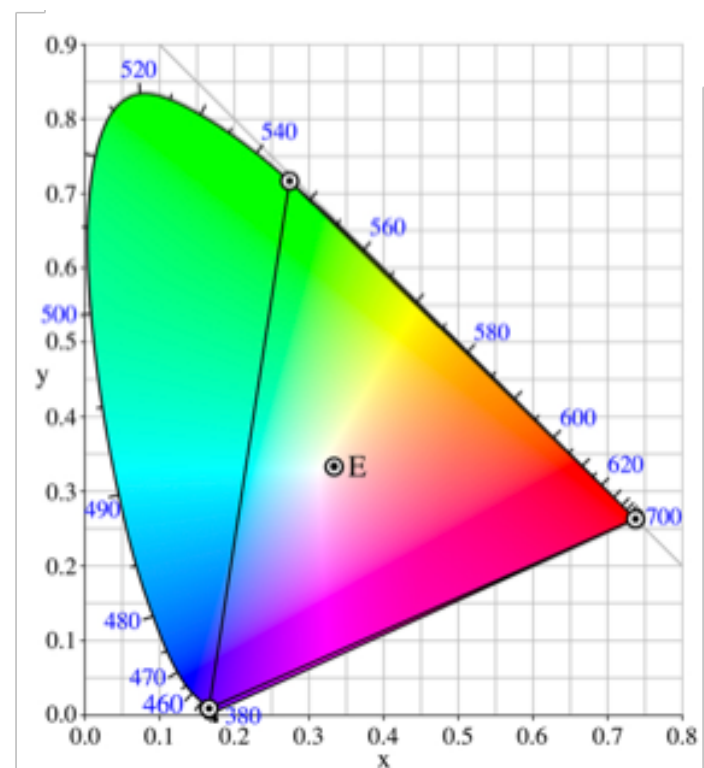
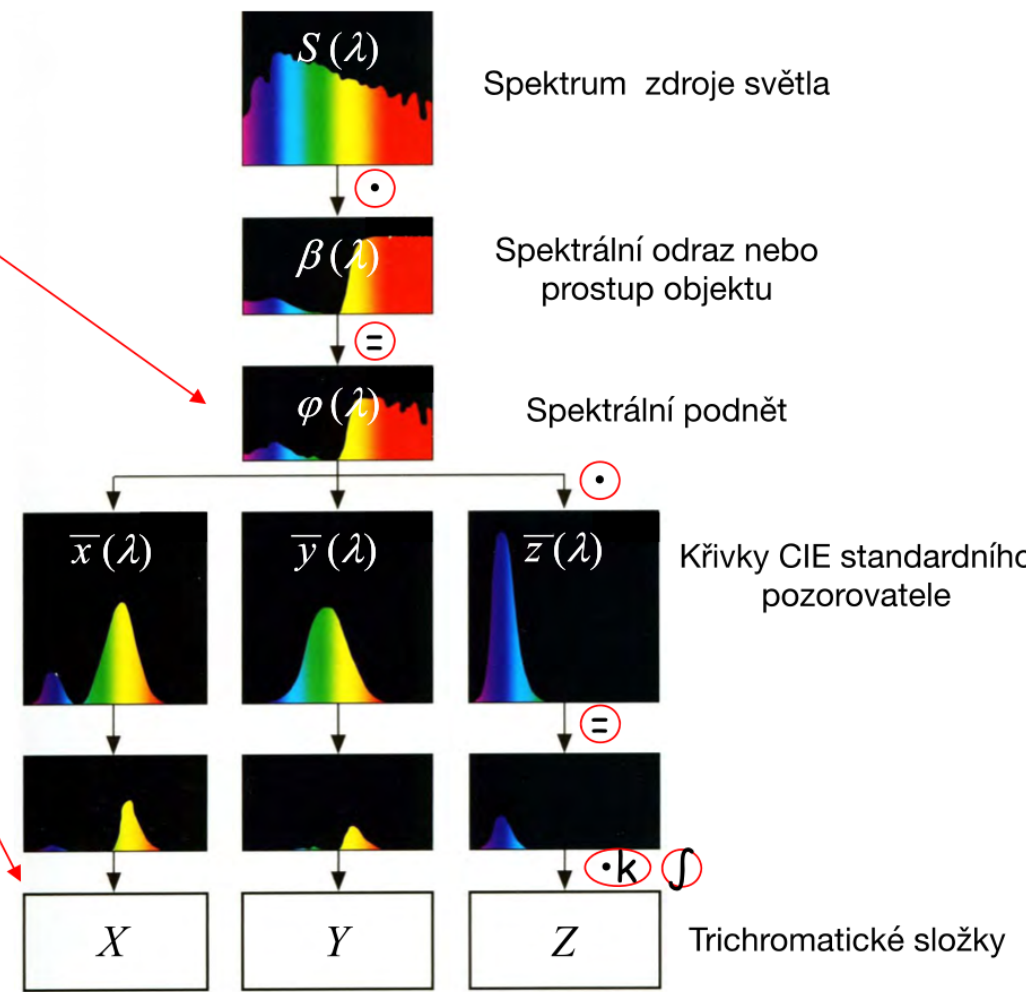
$$X = k \cdot \int_{380nm}^{780nm} \varphi_\lambda \cdot \bar{x}(\lambda) d\lambda;$$

$$Y = k \cdot \int_{380nm}^{780nm} \varphi_\lambda \cdot \bar{y}(\lambda) d\lambda;$$

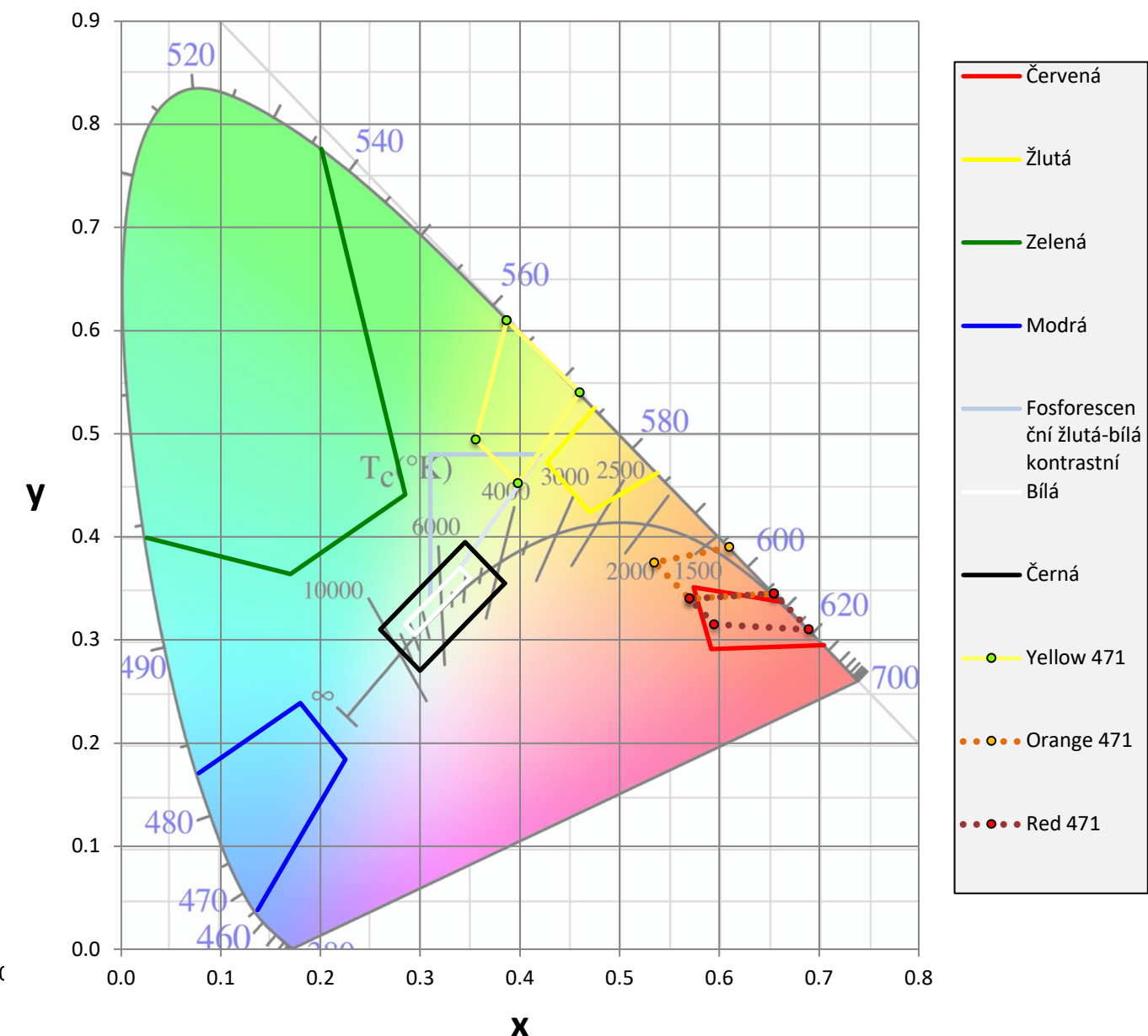
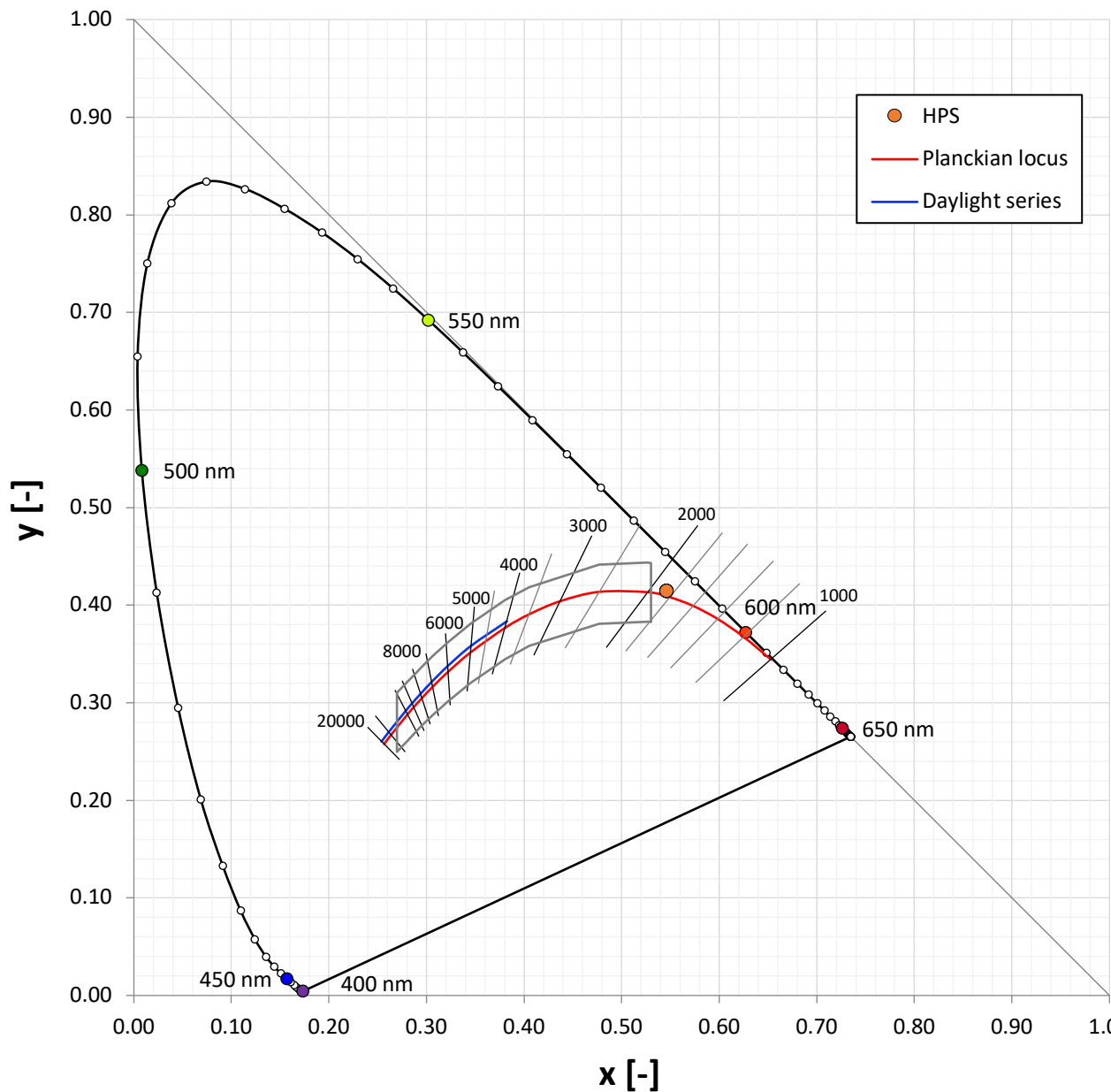
$$Z = k \cdot \int_{380nm}^{780nm} \varphi_\lambda \cdot \bar{z}(\lambda) d\lambda$$

$$k = 683,599 \text{ lm.W}^{-1}$$

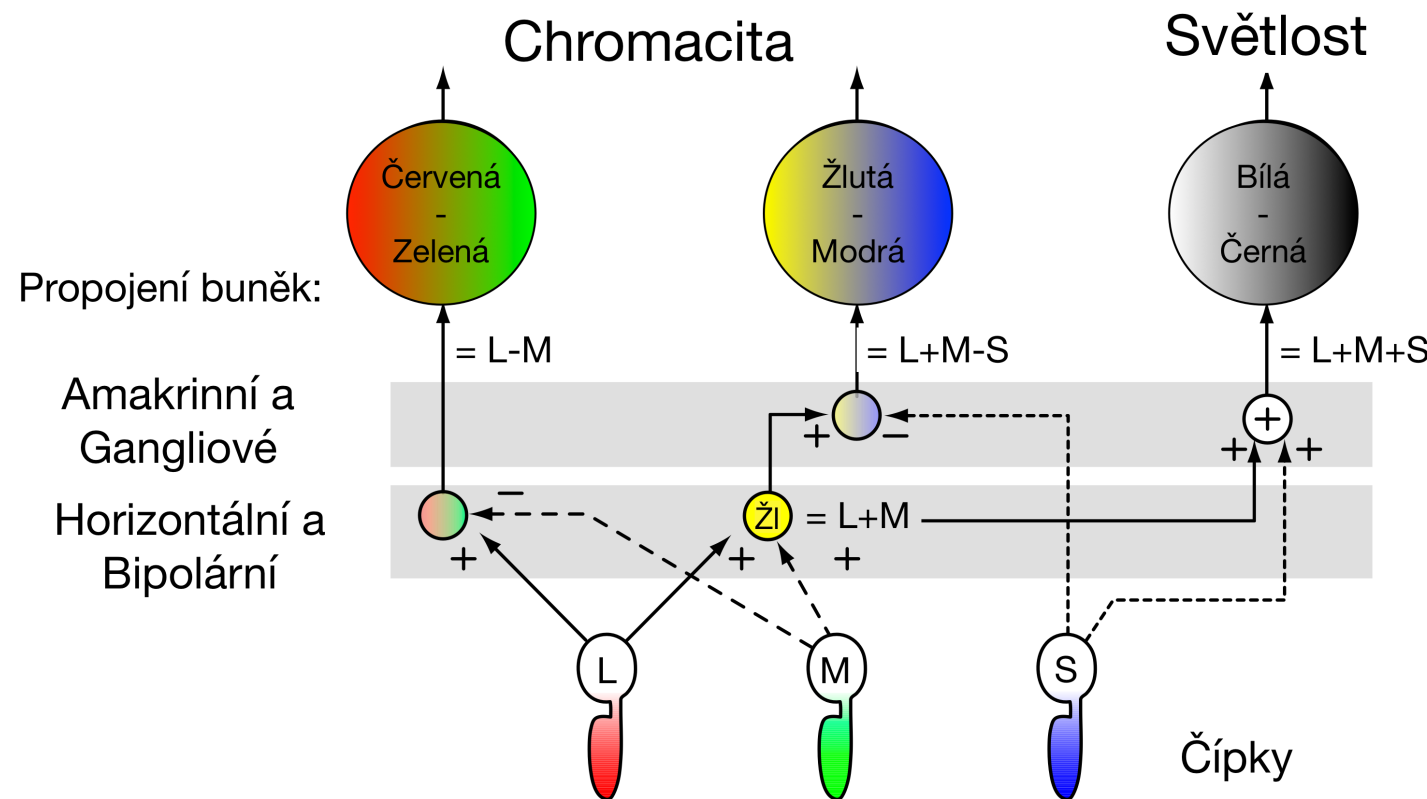
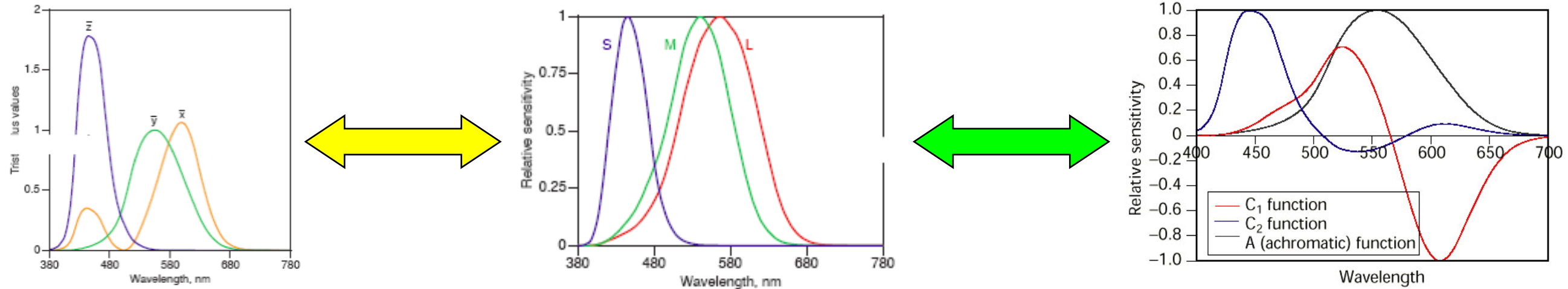
$$k = \frac{100}{\int_{380}^{780} S_\lambda \cdot \bar{y}(\lambda) d\lambda}$$



KOLORIMETRICKÁ SOUSTAVA CIE XYZ



KOLORIMETRICKÁ SOUSTAVA LAB



$$\begin{aligned}
 A &= [2\bar{R}_a + \bar{G}_a + (1/20)\bar{B}_a - 0.305] N_{bb} \\
 a &= \bar{R}_a - 12\bar{G}_a / 11 + \bar{B}_a / 11 \\
 b &= (1/9)(\bar{R}_a + \bar{G}_a - 2\bar{B}_a) \\
 J &= 100(A/A_W)^{cz} \\
 c &= 0.69 \quad z = 1.48 + n^{0.5}
 \end{aligned}$$

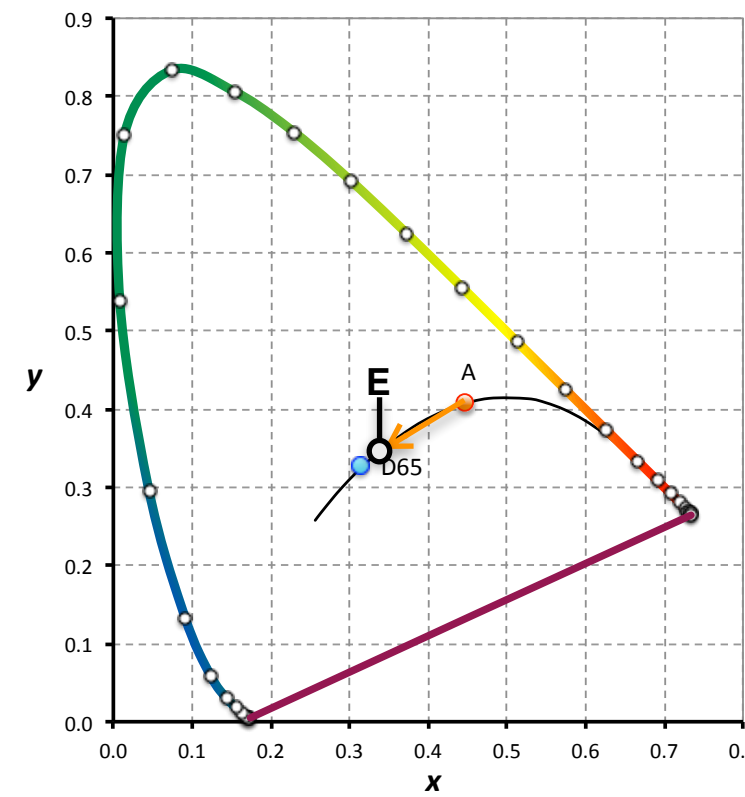
CIECAM02

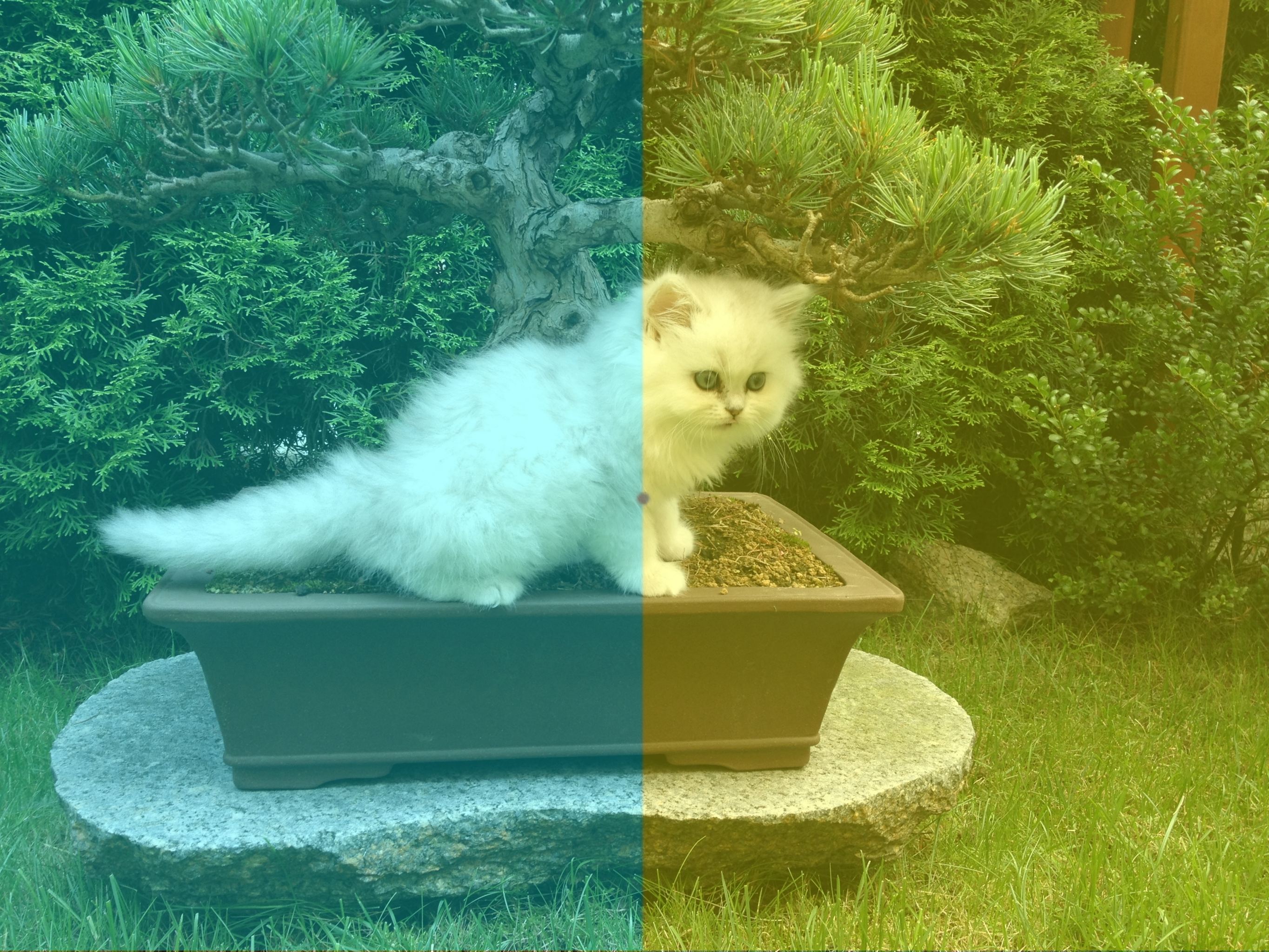


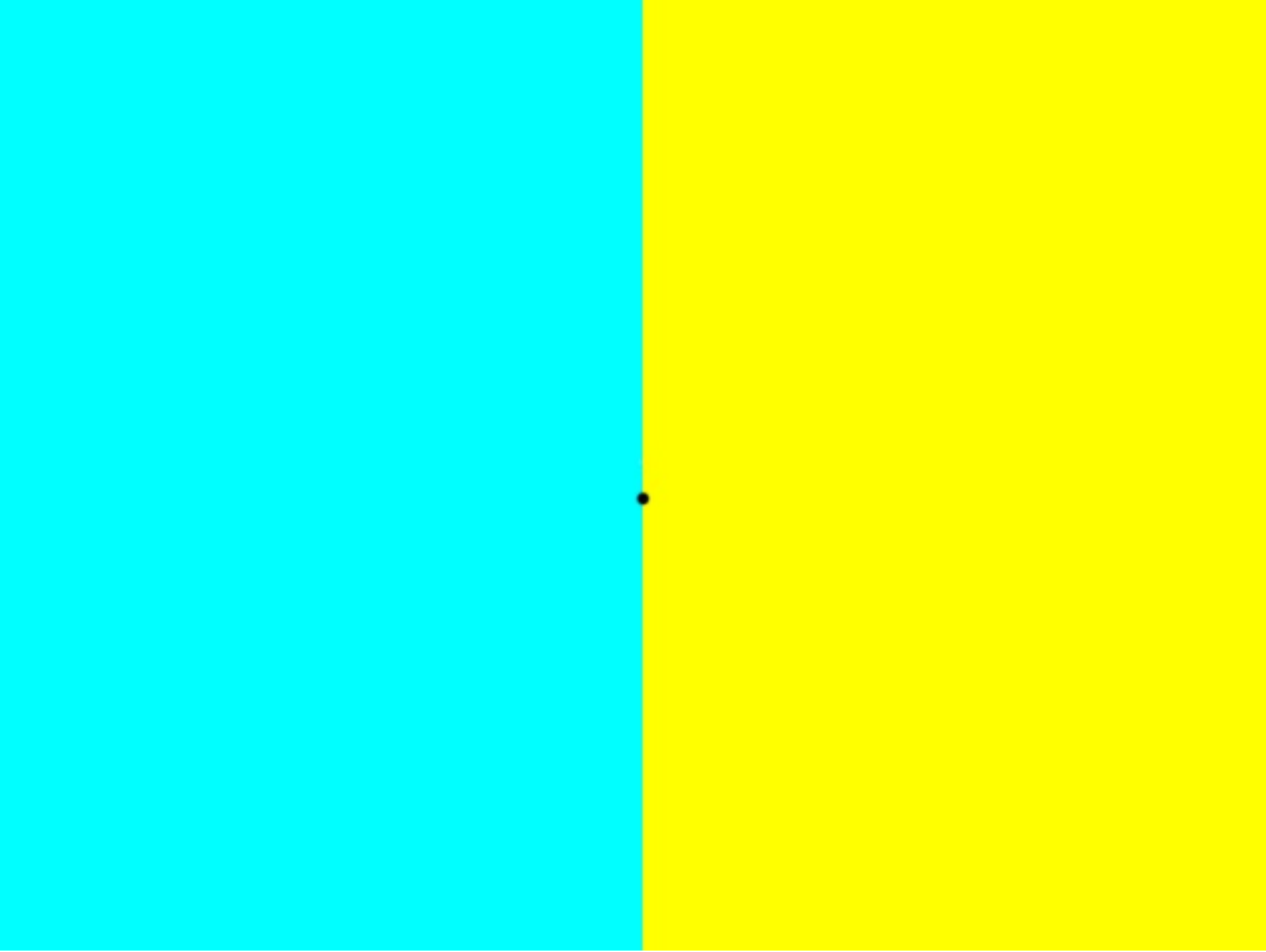
VYVÁŽENÍ BÍLÉ

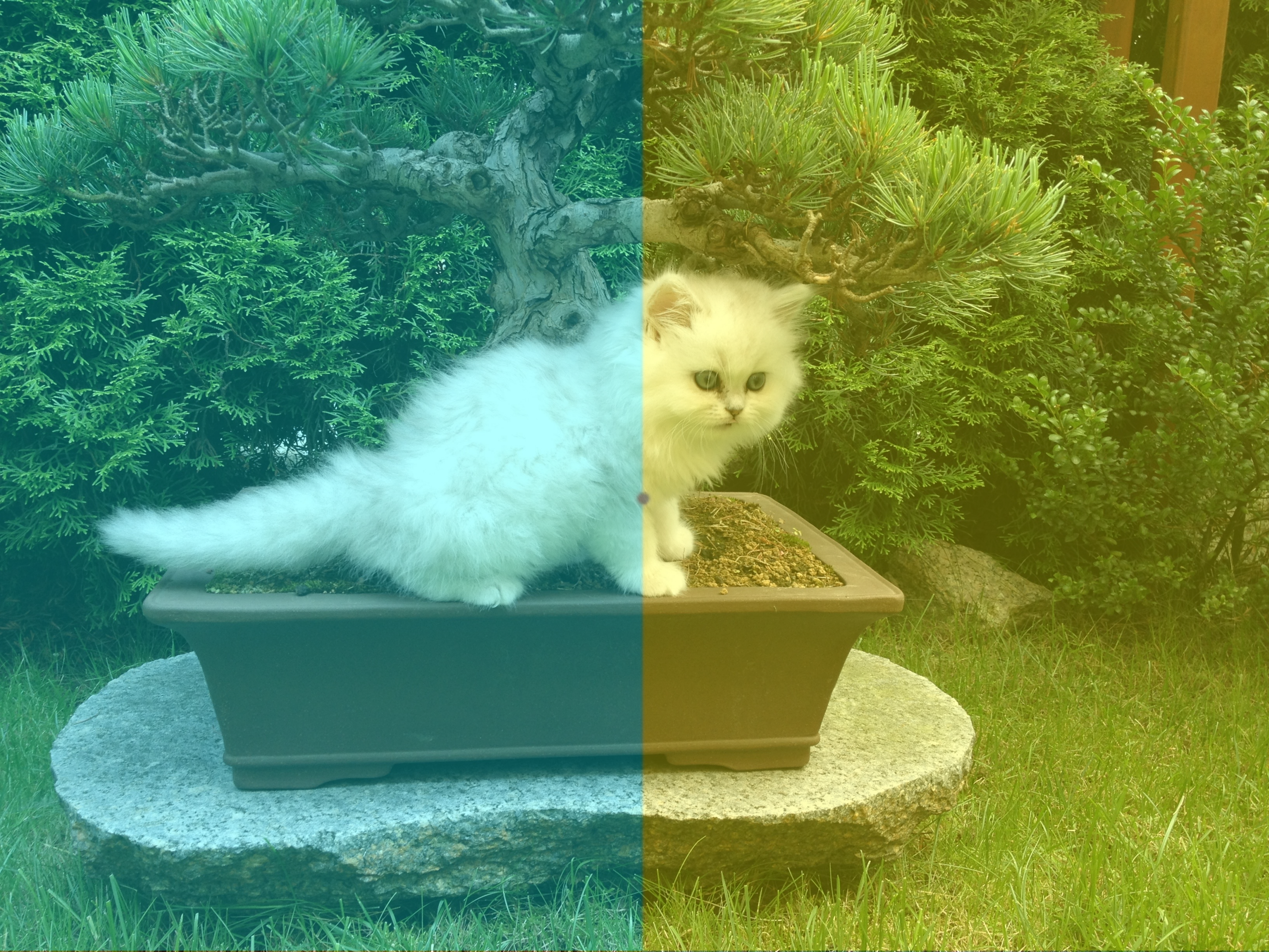


CW VLED, CRI = 95 WW VLED, CRI = 96



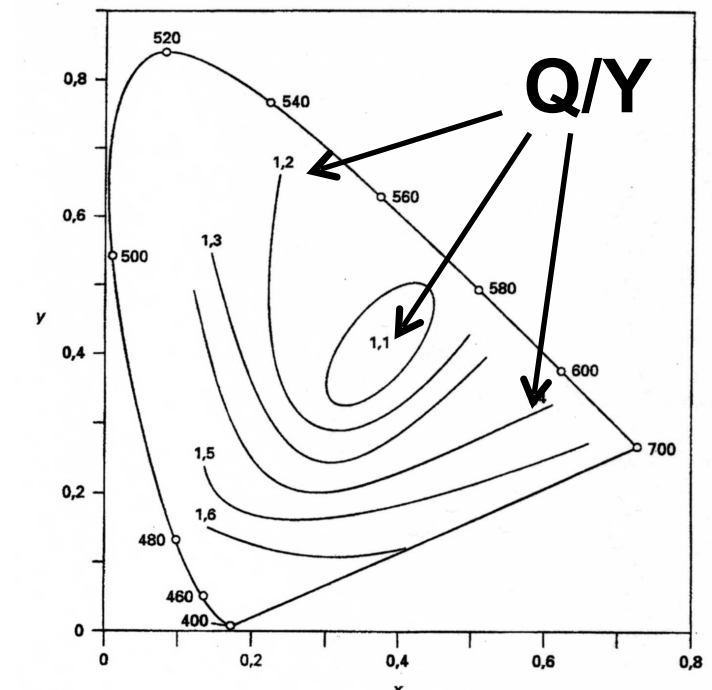
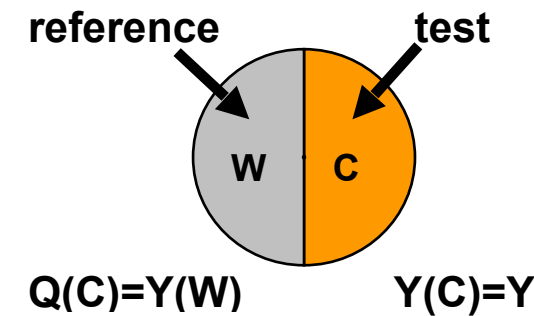
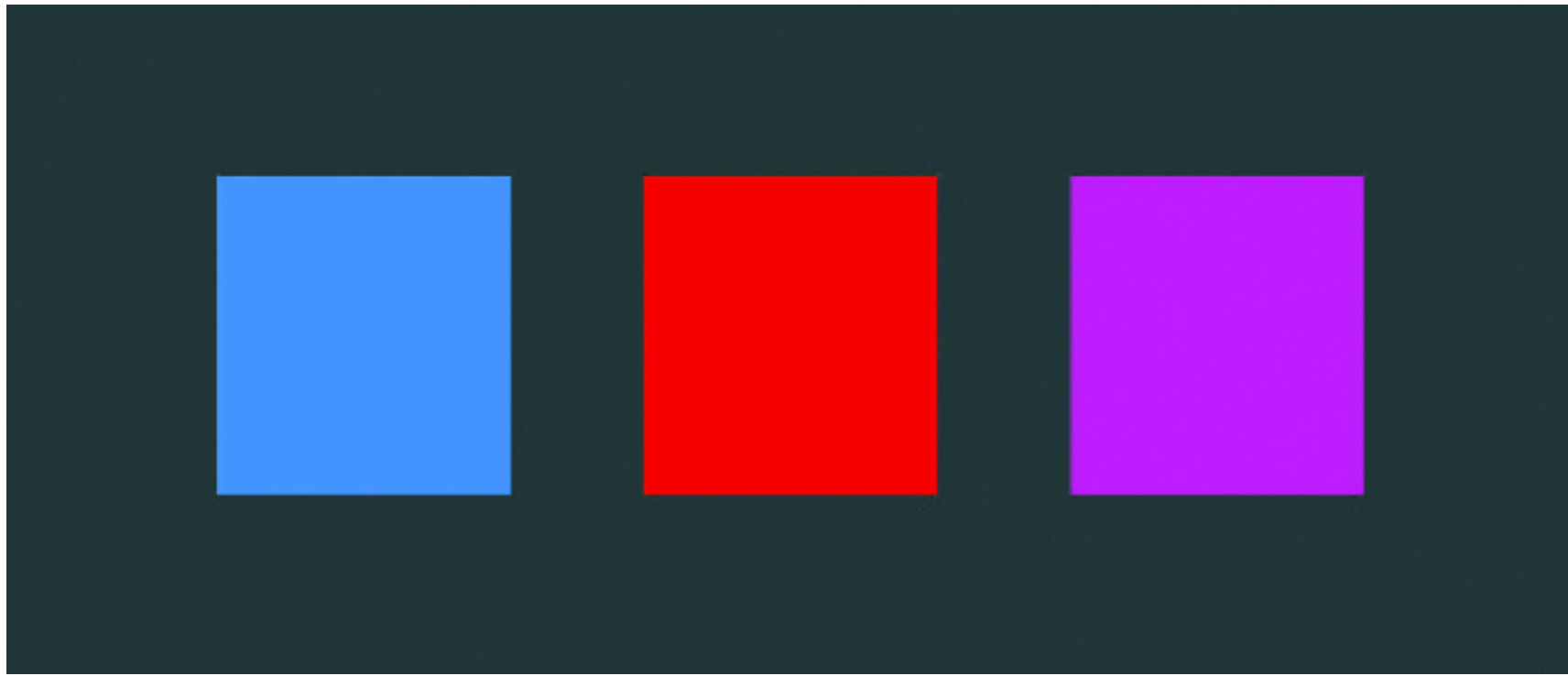






HELMHOLTZ-KOHLRAUSCHŮV EFEKT

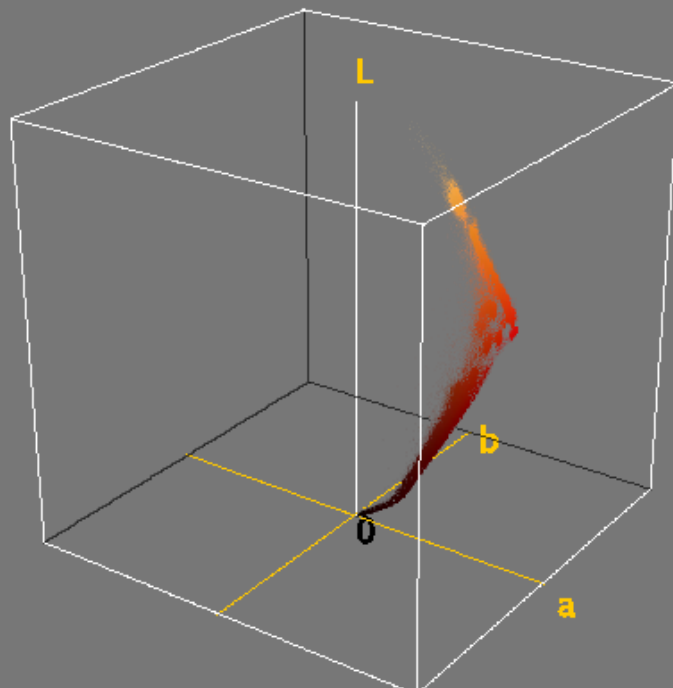
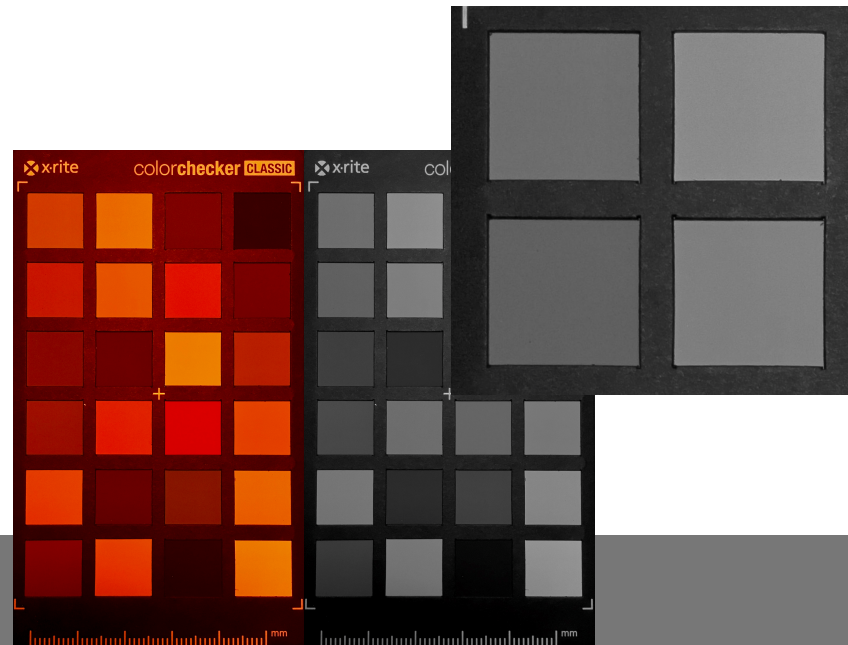
Jas závisí na intenzitě osvětlení a čistotě



Tři vzorky mají stejnou hodnotu L^* jako šedivé pozadí, vypadají však znatelně světlejší

Dva objekty se stejnou hodnotou Munsellova jasu – jeden chromatický a druhý achromatický se znatelně liší ve vnímané světlosti

CHK vs PSS



Amber

Color Inspector 3D

WW BLED2600K

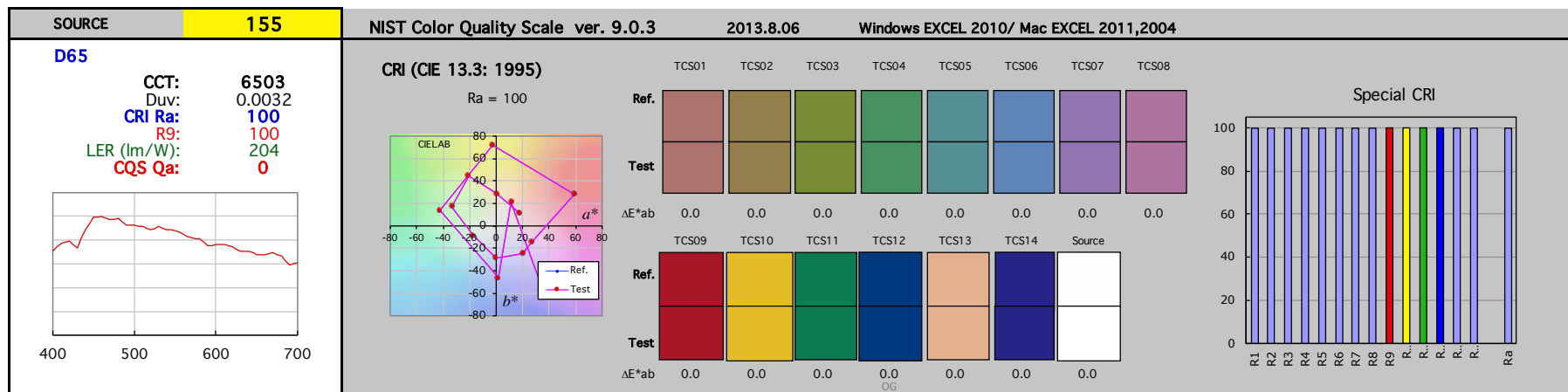
Color Inspector 3D

NW BLED4000K

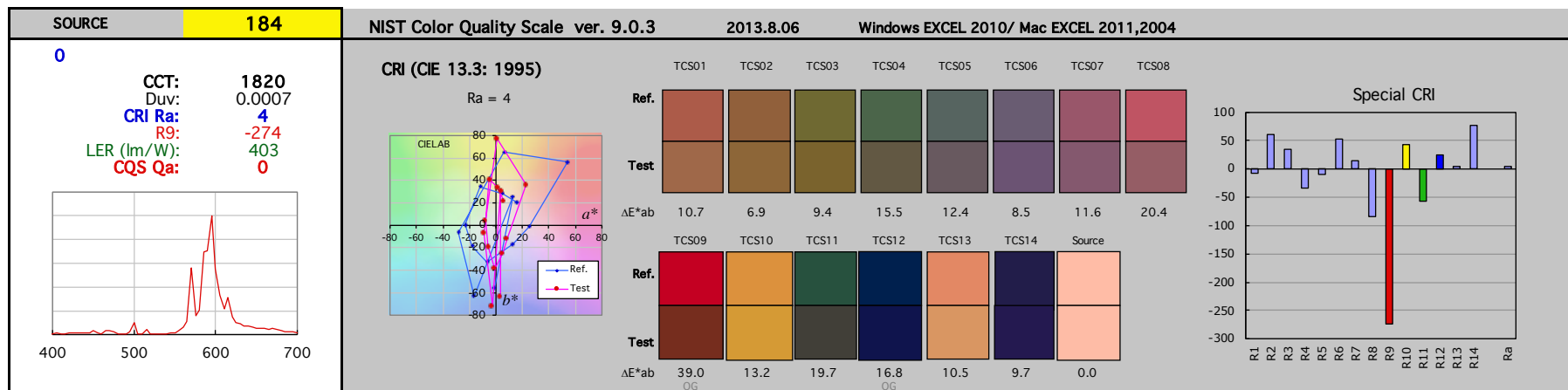
Color Inspector 3D



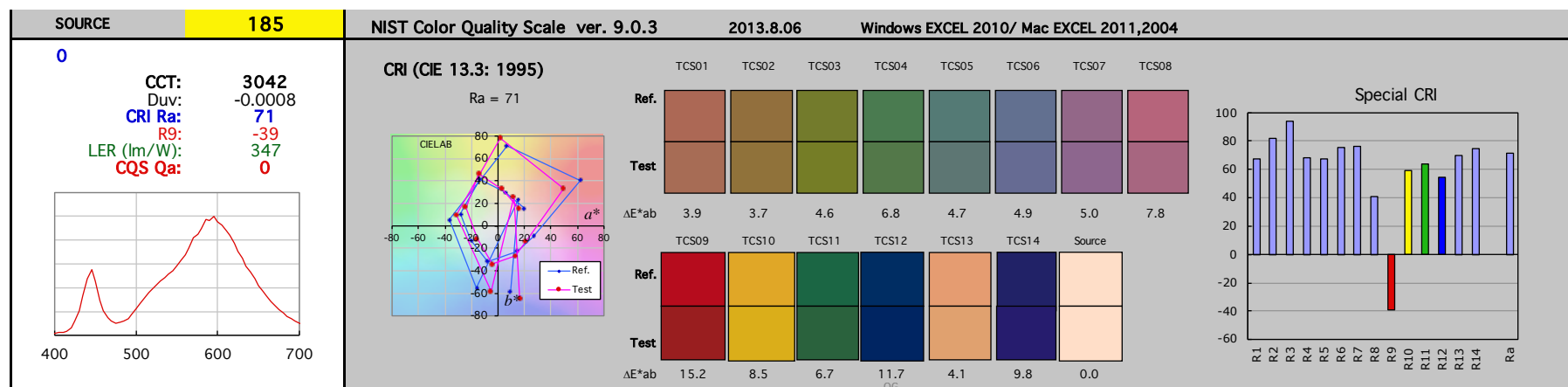
PSS vs R_A



D65



HPS



LED



CAM15U – CAM PRO PRIMÁRNÍ ZÁŘIČE

$$\rho_{10} = k_p \int_{390}^{830} L_{e,\lambda}(\lambda) \bar{I}_{10}(\lambda) d\lambda$$

$$\gamma_{10} = k_\gamma \int_{390}^{830} L_{e,\lambda}(\lambda) \bar{m}_{10}(\lambda) d\lambda$$

$$\beta_{10} = k_\beta \int_{390}^{830} L_{e,\lambda}(\lambda) \bar{s}_{10}(\lambda) d\lambda$$

Základní čípková
excitace

$$\rho_c = \rho_{10}^{c_p}$$

$$\gamma_c = \gamma_{10}^{c_p}$$

$$\beta_c = \beta_{10}^{c_p}$$

Pro fotopickou
úroveň bez
odlesků

$$A = c_A \left(2\rho_c + \gamma_c + \frac{1}{20} \beta_c \right)$$

Achromatický
signál

$$a = c_a \left(\rho_c - \frac{12}{11} \gamma_c + \frac{\beta_c}{11} \right)$$

Chromatické
souřadnice

$$b = c_b (\rho_c + \gamma_c - 2\beta_c)$$

$$Q = A + c_{HK1} \times M^{c_{HK2}}$$

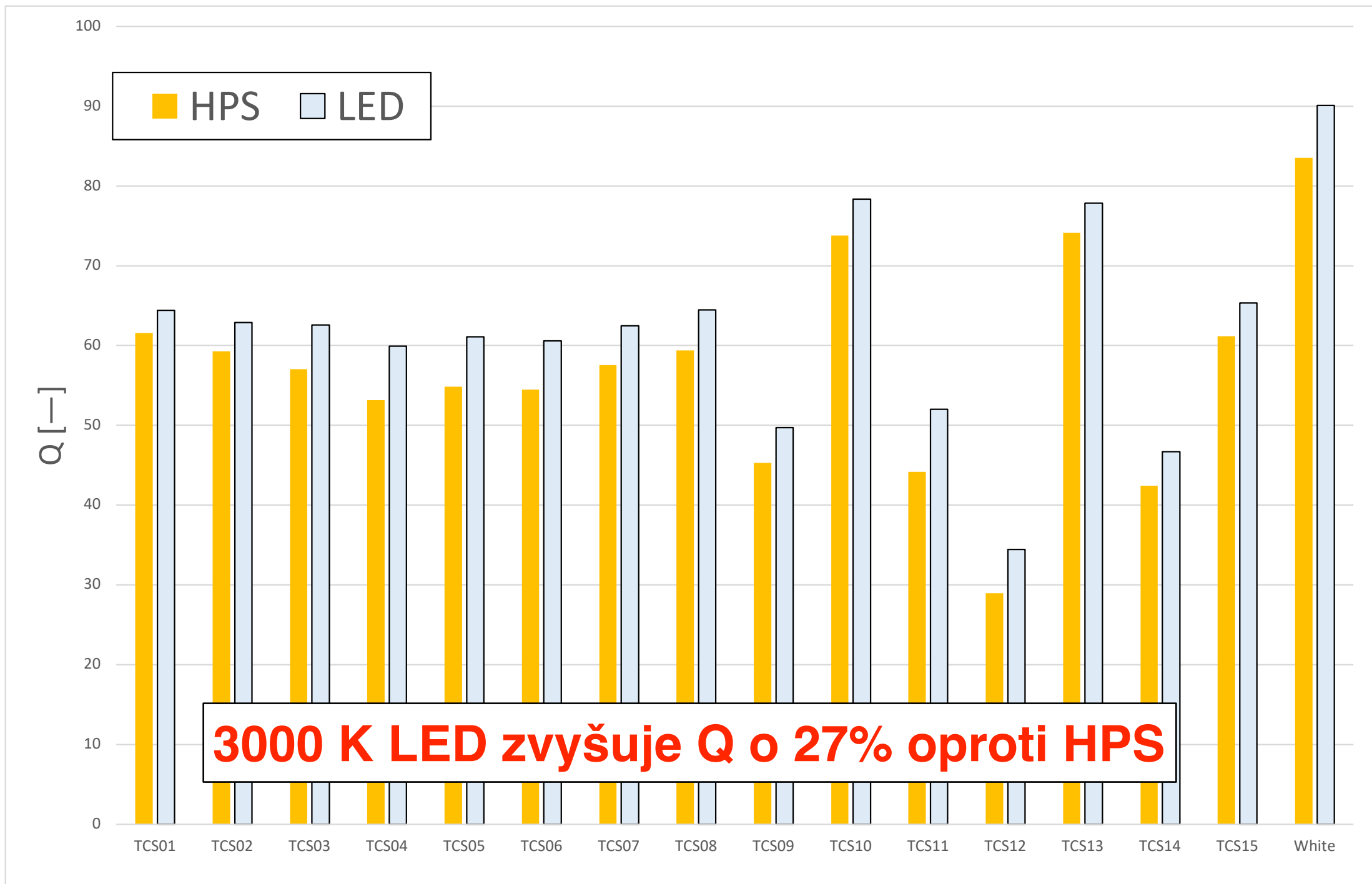
Vnímaný jas

$$Q_{CAM15us} = Q_{CAM15u} \left(\frac{FOV}{10} \right)^{0.271}$$

Vliv velikosti podnětu na vnímaný jas



ANALÝZA VLIVU PSS NA VNÍMANÝ JAS Q



ZÁVĚR

- ❖ RČ se zkracuje s nárůstem kontrastu a velikosti podnětu
- ❖ Kontrastní citlivost je závislá na achromatické i chromatické složce
- ❖ Kontrastní citlivost stoupá s rostoucím jasem a velikostí podnětu
- ❖ V případě sekundárních zářičů je KC závislá rovněž na PSS, potažmo souvisí T_{cp} a R_f/R_g (R_a) světelného zdroje

